

doi: <https://doi.org/10.15407/kfnt2020.04.019>

УДК 524.31

В. А. Захожай, С. І. Забуга

Харківський національний університет ім. В. Н. Каразіна
пл. Свободи 4, Харків, Україна, 61077
e-mail: szabuga52@gmail.com

Тривалість горіння гелію у зір населень I...III

Отримано узагальнені апроксимаційні формули, які описують залежність «час горіння гелію — маса зір нульового віку» для інтервалів мас і елементного складу зір, які відносять до населень I...III. Апроксимацію проведено як з урахуванням осьового обертання зір, так і без його урахування. Досліджено закономірності, що проявляються у отриманих залежностях від вмісту важких хімічних елементів Z (у межах від 0 до 0,1), які включають характерні значення для зоряних населень I...III, і наявності/відсутності осьового обертання зір.

Ключові слова: горіння гелію, осьове обертання зір, апроксимаційні формули, зорі населень I...III, маса зір нульового віку.

ВСТУП

Ядерне горіння гелію в надрах зірок відбувається на стадії гігантів. Це одна з основних стадій зірок, в якій відбувається генерація важких ядер хімічних елементів. Згідно з даними [5] її тривалість $_{\text{He}}$ з точністю до 10 % на порядок менша від часу горіння водню $_{\text{H}}$. Цей час може з такою ж точністю визначати час життя зірок-гігантів, оскільки тривалість горіння інших хімічних елементів з більш масивними ядрами ще на порядок менша, ніж $_{\text{He}}$.

Виявлення залежності часу ядерного горіння в надрах зірок-гігантів від початкових мас зірок, вивчення впливу на цю залежність виродження електронів у речовині зоряних надр, наявності осьового обертання магнітного поля — одна з актуальних проблем астрофізики. При цьому закономірності ядерного горіння гелію вивчено набагато гірше, ніж особливості горіння водню в надрах зірок, що належать до різних

поколінь Галактики. У різних дослідженнях отримано напівемпіричні залежності, що дозволяють оцінювати положення зірок на стадії головної послідовності [2—6, 8, 9, 36], аналізувати вплив зоряного вітру [5] і навіть обчислювати максимальну масу зірок диска Галактики [3].

Для вирішення такого роду завдань необхідні моделі зірок різних мас, їхнього елементного складу і віку, а останнім часом — і наявності осьового обертання. Такі моделі зірок почали розраховувати з другої половини минулого століття. Однак далеко не у всіх роботах наводяться необхідні табличні дані про час горіння хімічних елементів, які б дозволили обчислювати обговорювані залежності.

Метою цієї роботи було одержання залежності часу горіння гелію від початкових мас зірок, що належать населенням I, II (Галактики) і III, без обліку і з урахуванням їхнього осьового обертання, для досягнення якої було виконано такий комплекс робіт:

- виконано пошук необхідних досліджень (серед близько 2000 літературних джерел) в базі даних SAO/NASA ADS [http://adsabs.harvard.edu/abstract_service.html], в основному результатів досліджень Падуанської і Женевської груп;

- отримано вираз для знаходження в явному вигляді відповідності між вмістом металів зірок і вмістом у них важких хімічних елементів для визначення приналежності зірок до певного населення Галактики;

- проведено пошук апроксимаційних залежностей часу ядерного горіння від початкової маси зірки без урахування і з урахуванням їхнього осьового обертання;

- виконано аналіз отриманих результатів.

АПРІОРНА ІНФОРМАЦІЯ ДЛЯ РОЗВ'ЯЗУВАННЯ ПОСТАВЛЕНИХ ЗАВДАНЬ

До середини 1980-х рр. було розраховано велику кількість еволюційних моделей зірок, що дозволяють зробити їхні перші узагальнення. Моделі зірок були отримані для мас від $0.7m_{\odot}$ до $150m_{\odot}$ і значень вмісту важких хімічних елементів Z від 0.00001 до 0.04 (при вмісті гелію $Y = 0.1\dots0.4$). Серед них виділялися три основних інтервали мас для побудованих моделей: $(0.7\dots2-3)m_{\odot}$, $(2-3\dots10)m_{\odot}$ і понад $10m_{\odot}$. Для першого діапазону мас у той час найбільш повні відомості про чисельні розрахунки моделей зірок представлено в роботах [27, 42]. Огляди про результати чисельного моделювання зірок помірних мас $(2-3\dots10)m_{\odot}$ можна знайти в роботах [23, 34, 41], а масивних зірок ($>10m_{\odot}$) у роботах [1, 15, 16, 24, 33]. Узагальнення і систематизація цих даних виконані в монографії [5].

У цей період досліджень було з'ясовано, що тривалість ядерного горіння гелію у межах 10 % збігається з часом перебування зірок на стадії гігантів [5]. Таку оцінку можна отримати на основі обчисленої

тривалості ядерного горіння гелію, яка, як виявилося, на порядок менша від часу ядерного горіння водню на стадії головної послідовності, а загальний час горіння вуглецю, кисню і кремнію не перевищує 1000 років. Там же, на основі еволюційних моделей зірок з початковими масами $(10\dots100)m_{\odot}$, приведено залежність часу горіння гелію $_{\text{He}}$ від їхніх мас у вигляді

$$_{\text{He}} \quad 1.6 \cdot 10^7 M^{-1} \text{ років}, \quad (1)$$

де $M = m/m_{\odot}$ — маса зірок, виражена в сонячних одиницях.

У 1990-ті рр. були виконані систематичні однорідні розрахунки еволюційних моделей зірок, які, як правило, не враховували їхнє осьове обертання. Вони охоплювали увесь діапазон початкових мас, які можуть проходити стадію зірок-гіантів ($M = 0.5\dots120$ для зірок населення I, II) з елементним складом $Z = 0.0004\dots0.1$ [11, 13, 19—21, 32, 38—40].

З початку 2000-х рр. з'явилися перші результати моделювання зір з нульовим вмістом металів ($Z = 0$ і $M = 0.7\dots1000$), які було віднесенено до населення III [25, 26], а також спершу поодинокі, а з 2012 р. — і систематичні однорідні результати розрахунків масивних зірок ($M > 9$) без урахування і з урахуванням їхнього осьового обертання [14, 17, 18, 22, 28—30, 35, 37]. Моделям з сонячним елементним складом масивних зірок з масами в діапазоні $M = 13\dots120$, обчисленим з урахуванням осьового обертання та без нього, присвячено роботу [14]. У таблицях наведено значення тривалості горіння водню (H), гелію (He), вуглецю (C), неону (Ne), кисню (O) і кремнію (Si) як функції основних характеристик зірок. Згідно з проведеними розрахунками у моделях обертових зірок маси утворюваних He- і CO-ядер виявилися більшими від тих, які формуються у зірках без осьового обертання. Аналіз впливу обертання на моделі зірок і проблем опису еволюційних процесів на стадії після головної послідовності зроблено у роботах [31] і [12] відповідно. Вказується, що обертання впливає на профіль еволюційних треків і тривалість ядерного синтезу [31]. Відзначається, що на стадії зірок-гіантів має бути критична маса, яка залежить від їхнього загального елементного складу, вище якої в ядрі гелій спалюється спокійно [12]. Але ні аналітичних, ні графічних залежностей описаних процесів від початкових мас зірок не наводиться.

Як і в роботі [14], тривалість горіння H, He, C, Ne, O, Si отримано при розрахунку необертових еволюціонуючих зірок, речовина надр яких описується сучасними моделями зоряної речовини [35]. Інтервали початкових мас M є функціями вмісту металів: $M = 15\dots25$ для $Z = 0.01$ і $M = 15\dots25$ для $Z = 0.02$; значення тривалості горіння наведено у табличному вигляді.

Таким чином, найбільш інформативними і зручними для отримання залежності «час ядерного горіння гелію — маса зірок нульового віку» для моделей зірок різного вмісту важких хімічних елементів, у яких не враховувалося осьове обертання, доцільно виділити роботи [11, 13, 19—21, 32, 38—40], а для з'ясування впливу осьового обер-

тання — результати робіт [14, 17, 18, 22, 25, 26, 28—30, 35, 37], які і були використані для досягнення мети, сформульованої в роботі.

МЕТАЛІЧНІСТЬ І ДОЛЬОВІ ВМІСТИ МЕТАЛІВ У ЗІРОК НАСЕЛЕНЬ I...III

Для розрахунку моделей зірок з вмістом металів Z в інтервалі $Z = 0 \dots 0.1$ були використані дані робіт [11, 13, 19—21, 32, 38—40]. Зіркам населення III і сонячного вмісту металів відповідають значення $Z_{\text{III}} = 0$ і $Z = 0.02$ [10]. Щоб виділити з інтервалу Z ті значення, що відповідають зіркам населень I і II, використовувалися функція металічності для зірок гало Галактики і зв'язок між індексом металічності $[\text{Me}/\text{H}]$ та вмістом металів Z . (Тут і далі індекс металічності будемо позначати $[\text{Me}/\text{H}]$, якщо тільки мова не буде йти про конкретні елементи (наприклад C/H, O/H, Ne/H, [Fe/H] і т. д.).

За типові індекси металічності для зірок населення I і II доцільно прийняти характерні значення $[\text{Me}/\text{H}]$, у межах яких вони зустрічаються в диску й гало Галактики відповідно. Згідно з функцією металічностей, побудованою для галактичного диска і гало [7], інтервали для індексу металічності такі: $[\text{Me}/\text{H}]_{\text{I}} = -0.5 \dots 0.3$; $[\text{Me}/\text{H}]_{\text{II}} = -2.2 \dots -0.5$.

Зв'язок між $[\text{Me}/\text{H}]$ та вмістом металів Z можна отримати з визначення індексу металічності:

$$[\text{Me}/\text{H}] = \lg \frac{Z / X}{Z_{\odot} / X_{\odot}}, \quad (2)$$

де X і Z — сонячний вміст водню і важких хімічних елементів відповідно.

Розв'язуючи це рівняння відносно $Z/X = Z/\text{H}$ і приймаючи, що це відношення в даній задачі відповідає значенням індексу металічностей певної популяції зірок Галактики $[\text{Me}/\text{H}]_{\text{Pop}}$, після ряду перетворень, і з урахуванням того що $Z/\text{H} = 0.027$ (для Сонця $X = 0.73$, $Z = 0.02$ [13]), отримаємо:

$$\lg(Z / X) = \lg(Z_{\odot} / X_{\odot}) + [\text{Me}/\text{H}]_{\text{Pop}}, \quad (3)$$

$$(Z / X)_i = \text{dex } \lg(Z_{\odot} / X_{\odot}) + [\text{Me}/\text{H}]_{\text{Pop}}. \quad (4)$$

Після підстановки індексів металічності $[\text{Me}/\text{H}]_{\text{Pop}}$ у (3) дольовий вміст металів у зірок населення I та II дорівнює

$$\begin{aligned} Z_i &= X_i \text{dex } \lg(Z_{\odot} / X_{\odot}) + [\text{Me}/\text{H}]_{\text{Pop}} = \\ &= 0.006 \dots 0.04, && \text{для популяції I,} \\ &= 0.0001 \dots 0.006, && \text{для популяції II,} \end{aligned} \quad (5)$$

де для вмісту водню прийнято значення $X_{\text{I}} = 0.73$ і $X_{\text{II}} = 0.74$.

**ЗАГАЛЬНІ АПРОКСИМАЦІЙНІ ВИРАЗИ ДЛЯ ЗАЛЕЖНОСТІ
«ЧАС ГОРІННЯ ГЕЛІЮ — ПОЧАТКОВА МАСА ЗІРОК»**

Залежності «час горіння гелію — початкова маса зірок» шукалися за результатами робіт [11, 13, 14, 17—22, 25, 26, 28—30, 32, 35, 37—40] не для розрахуваних дольових вмістів металів Z , а для зірок населення I...III, значення Z яких (від 0 до 0.04) потрапляють в інтервали, що відповідають виразу (5). Обчислення виконувалися методом найменших квадратів з використанням певних кусково-неперервних функцій, кожна з яких вибиралася для певного інтервалу початкових мас зірок. Вибір класу функцій здійснювався з урахуванням якісної поведінки аналізованих залежностей на визначеному інтервалі. Для пошуку рішень у загальному випадку використовувалися три класи логарифмічних функцій:

$$\lg_{\text{He}} = a_{ijk}, \quad (6)$$

$$\lg_{\text{He}} = a_{ijk} + b_{ijk} \lg M, \quad (7)$$

$$\lg_{\text{He}} = a_{ijk} + b_{ijk} \lg M + c_{ijk} \lg^2 M, \quad (8)$$

де a_{ijk} , b_{ijk} , c_{ijk} — вільні члени ($i = 1\dots 3$ — номер популяції, $j = 1\dots 3$ — номер у послідовності обраного інтервалу мас M , на якому шуканій залежності відповідає одна із функцій (6)—(8); k — номер апроексимаційної моделі); $M = m/m_{\odot}$ — маса зірок нульового віку у сонячних одиницях.

Також враховувався той факт, що зі збільшенням початкових мас зірок час горіння гелію не може збільшуватися, як і час горіння водню [3—6].

Для пошуку рішень, як і в роботі [4] (де будувалися аналогічні апроексимаційні залежності для часу горіння водню), використовувався стандартний пакет програм Microsoft Excel «Пошук рішення», що дозволяє методом ітерацій реалізувати метод найменших квадратів і обчислювати суму квадратів відхилень \sum_k^2 для остаточно отриманих таким чином вільних членів.

Розв'язки шукалися у два етапи: для бази моделей необертових зірок на основі робіт 1990-х рр. [11, 13, 19—21, 32, 38—40] і досліджень, виконаних після 2000-х рр. [14, 17, 18, 22, 25, 26, 28—30, 35, 37], у яких представлено моделі обертових і необертових зірок. Результати розв'язування таких завдань представлено в табл. 1...3, де для визначених інтервалів мас наведено значення констант і вільних членів апроексимаційних функцій (6)—(8) і міра їхньої достовірності для зірок без осьового обертання (табл. 1, 2) і при його наявності (табл. 3). Моделі зірок були згруповані у популяції I...III, значення вмісту металів яких потрапляють в інтервали Z згідно з результатами їхнього зв'язку з відповідною металічністю, що визначається виразом (5) для популяцій I, II і $Z = 0$ для популяції III.

Таблиця 1. Коефіцієнти апроксимацій (6)–(8) на різних інтервалах мас M для часу горіння гелію, отримані без урахування осьового обертання за даними 1990-х рр. [11, 13, 19–21, 32, 38–40]. Підкреслені значення відповідають мінімуму величин на досліджуваному інтервалі мас M

Номер моделі	Апрокси-мація	$M = m/m_{\odot}$	a_{ijk}	b_{ijk}	c_{ijk}	\sum_k^2
Популяція I						
1.1	(6)	0.5...1.7	8.0772	0	0	0.0907
1.2	(6)	0.5...1.8	8.0772	0	0	0.0907
1.3	(6)	0.5...1.9	8.0772	0	0	0.0907
1.4	(6)	1.7...2.5	8.2630	0	0	0.4246
1.5	(6)	1.8...2.5	8.2844	0	0	0.3440
1.6	(6)	1.9...2.5	8.2970	0	0	0.2951
1.7	(8)	2.5...25	10.4140	-6.2391	2.1077	0.6044
1.8	(8)	2.5...30	10.3464	-6.0477	1.9889	0.6521
1.9	(8)	2.5...120	10.0122	-5.2090	1.5383	2.0416
1.10	(7)	25...120	5.8029	-0.0492	0	1.1063*
1.11	(7)	30...120	5.5606	0.0775	0	1.0421
Популяція II						
1.11	(6)	0.5...1.7	8.0790	0	0	0.0475
1.12	(6)	0.5...1.8	8.0934	0	0	0.1131
1.13	(8)	1.7...25	9.3887	-4.2426	1.1806	0.4679
1.14	(8)	1.7...30	9.3845	-4.2274	1.1697	0.4685
1.15	(8)	1.7...120	9.3204	-4.0368	1.0647	0.5934
1.16	(8)	1.8...25	9.4903	-4.4823	1.3068	0.2780
1.17	(8)	1.8...30	9.4802	-4.4464	1.2815	0.3345
1.18	(8)	1.8...120	9.3727	-4.1233	1.0961	0.4337
1.19	(7)	25...120	6.3586	-0.4366	0	0.0881
1.20	(7)	30...120	6.1747	-0.3408	0	0.0624

* Вибрано рішення, при якому сума квадратів відхилень не мінімальна, однак виконується умова негативного градієнта

В усіх наведених таблицях підкреслені значення сум квадратів відхилень (остання графа) відповідають їхнім мінімальним значенням на аналізованому або всіх інтервалах мас зірок. Кращі апроксимаційні залежності представлено на рис. 1...3 (точки — вихідні дані). На рис. 4 наведено згладжені залежності, представлені на рис. 1...3.

АНАЛІЗ ОТРИМАНИХ РЕЗУЛЬТАТИВ ТА ВИСНОВКИ

Результати систематичних розрахованих моделей зірок, серед яких наводяться часи ядерного горіння гелію, опубліковані в 1990-х рр. [11, 13, 19–21, 32, 38–40] і після 2000-х рр. [14, 17, 18, 22, 25, 26, 28–30, 35, 37], взаємно доповнюють і уточнюють одне одного. Це видно з результатів табл. 1—3, де наведено дані про інтервали мас, зміст металів, врахування (неврахування) осьового обертання модельованих зірок. Базовими є моделі зірок, у яких не враховується осьове обертан-

Таблиця 2. Теж для даних, отриманих після 2000 р. [14, 17, 18, 22, 25, 26, 28—30, 35, 37]

Номер моделі	Апроксимація	$M = m/m_{\odot}$	a_{ijk}	b_{ijk}	c_{ijk}	$\frac{2}{k}$
Популяція I						
2.1	(8)	2.5...25	10.3140	-5.4952	1.6234	0.1352
2.2	(8)	2.5...30	10.2800	-5.4061	1.5722	0.1415
2.3	(8)	2.5...32	10.2980	-5.4531	1.5989	0.1426*
2.4	(8)	2.5...120	10.0450	-4.8971	1.3274	0.2478
2.5	(7)	25...120	6.2627	-0.3633	0	0.0756
2.6	(7)	30...120	6.0918	-0.2734	0	0.0453
2.7	(7)	32...120	6.1219	-0.2890	0	0.0438*
Популяція II						
2.8	(8)	2.5...25	9.6270	-4.5297	1.2716	0.0219
2.9	(8)	2.5...32	9.6570	-4.4871	1.2451	0.0019**
2.10	(8)	2.5...120	9.5162	-4.131	1.0554	0.0112
2.11	(7)	25...120	6.5348	-0.5421	0	0.0044
2.12	(7)	32...120	6.4055	-0.4738	0	0.0016**
Популяція III						
2.13	(6)	0.7...1	8.0483	0	0	0.0011
2.14	(8)	1...25	8.3267	-2.4366	0.3859	0.1325**
2.15	(8)	1...40	8.3410	-2.5245	0.4694	0.1404
2.16	(8)	1...60	8.3528	-2.5913	0.5277	0.1493
2.17	(8)	25...200	7.5049	-1.8082	0.3835	0.0048**
2.18	(8)	40...200	5.9803	-0.2678	-0.0006	0.0017
2.19	(8)	60...200	4.791	0.8857	-0.2781	0.0013
2.20	(8)	25...1000	6.9748	-1.2225	0.2265	0.0069
2.21	(8)	40...1000	6.4861	-0.8064	0.1407	0.0023
2.22	(8)	60...1000	6.4683	-0.7917	0.1377	0.0023
2.23	(7)	200...1000	5.476	-0.0494	0	0.0145**

* Відібрано розв'язок, при якому сума квадратів відхилень не мінімальна, однак виконується умова негативного градієнта

** Відібрано розв'язок з мінімальною загальною сумою квадратів відхилень для всього інтервалу мас зірок, а не тільки зазначеного у графі « M ». Нижче ці значення також підкреслено

ня. Встановивши для них певні закономірності, другим кроком є виявлення впливу на них осьового обертання. Таку схему було вибрано для аналізу.

Закономірності горіння гелію в необертових зірках шукалися за табл. 1, 2 і рис. 4a, 4b. Порівняння моделей, отриманих до і після 2000 р., проводилося за відносним відхиленням

$$h_{ijk} = \frac{(\lg_{\text{He}})_{hi} - (\lg_{\text{He}})_{jk}}{(\lg_{\text{He}})_{hi}}, \quad (9)$$

де h, j — приналежність до значення певної популяції (I, II, III); i, k — приналежність до найкращої апроксимаційної залежності (зазначеної у табл. 1...3), розрахованої до і після 2000 р. відповідно; при $h=j=i=k$, при $h=j$ — можуть приймати значення $i=k$ або $i=k$.

Таблиця 3. Теж для даних, отриманих після 2000 р. [14, 17, 18, 22, 25, 26, 28—30, 35, 37], але з урахуванням осьового обертання

Номер моделі	Апроксимація	$M = m/m_{\odot}$	a_{ijk}	b_{ijk}	c_{ijk}	$\frac{2}{k}$
Популяція I						
3.1	(8)	2.5...25	10.0030	-4.9228	1.3833	0.0445
3.2	(8)	2.5...30	10.0330	-5.0024	1.4304	0.0471
3.3	(8)	2.5...32	10.0200	-4.9689	1.4108	0.0476**
3.4	(8)	2.5...120	9.8589	-4.6054	1.2308	0.0902
3.5	(7)	25...120	6.3368	-0.3985	0	0.0629
3.6	(7)	30...120	6.1293	-0.2884	0	0.0386
3.7	(7)	32...120	6.0173	-0.2297	0	0.0249
Популяція II						
3.8	(8)	2.5...25	9.4401	-4.1168	1.1068	0.0020
3.9	(8)	2.5...30	9.4385	-4.1114	1.1032	0.0021
3.10	(8)	2.5...32	9.4328	-4.0932	1.0912	0.0022**
3.11	(8)	2...120	9.3588	-3.8922	0.9842	0.0189
3.12	(7)	25...120	6.4697	-0.4884	0	0.0216
3.13	(7)	30...120	6.3831	-0.4423	0	0.0174
3.14	(7)	32...120	6.3101	-0.4041	0	0.0150
Популяція III						
3.15	(8)	9...40	10.1740	-5.5420	1.6814	0.0003**
3.16	(8)	9...60	9.4686	-4.3574	1.1994	0.0033
3.17	(8)	9...85	9.1737	-3.8827	1.0166	0.0049
3.18	(8)	9...200	8.6229	-3.0494	0.7190	0.0114
3.19	(8)	9...1000	7.8932	-2.0571	0.4072	0.0344
3.20	(8)	40...200	7.9641	-2.2718	0.4998	0.0003
3.21	(8)	60...200	7.0077	-1.344	0.2766	0.00002
3.22	(8)	85...200	7.6171	-1.9166	0.4105	1.1527e-7
3.23	(8)	40...1000	6.8408	-1.1022	0.2004	0.0018
3.24	(8)	60...1000	6.4158	-0.7531	0.1304	0.0002
3.25	(8)	85...1000	6.3488	-0.6998	0.1199	0.0002
3.26	(7)	200...1000	5.5348	-0.0712	0	0.0004

** Відібрано розв'язок з мінімальною загальною сумою квадратів відхилень для всього інтервалу мас зірок, а не тільки зазначеного у графі «М». Нижче ці значення також підкреслено

У діапазоні мас зірок $M = 0.5 \dots 1.7$ залежності $\lg_{\text{He}} - \lg M$ моделей для населення I, II до 2000 р. збігаються ($|_{I-II}| = 0.02 \%$) і мають постійне значення, що не залежить від M (див. рис. 4a). Для популяції I в області $M = 1.7 \dots 2.5$ значення $\lg_{\text{He}} - \lg M$ постійне, але на 3 % більше. Значення константи таких залежностей $\lg_{\text{He}} - \lg M$ зв'язується з властивістю речовини, рівняння якої відповідає стану виродженого електронного газу, де відбувається 3-реакція [5]: $M < 2.5$ для популяції I і $M < 1.7$ для популяції II. Нові моделі зірок для популяцій I, II у діапазоні мас $M < 2.5$ після 2000 р. не будувалися (див. табл. 2).

Як видно з рис. 4a, значення \lg_{He} для зірок I популяції систематично перевищують аналогічні значення для зірок II популяції, а в об-

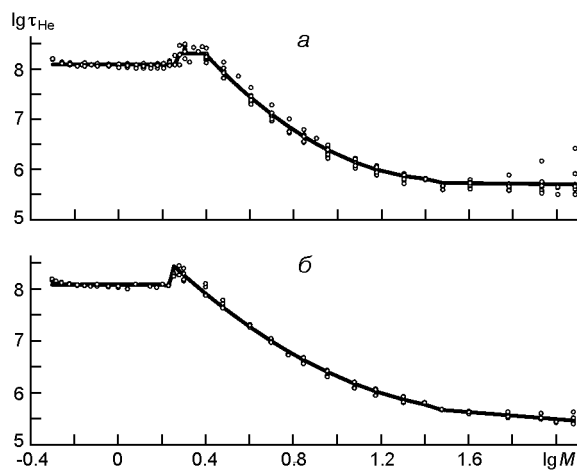


Рис. 1. Модельні залежності часу $\lg \tau_{\text{He}}$ ядерного горіння гелію від маси $\lg M$ зірок нульового віку населення I (а) та II (б), отримані без урахування осьового обертання на основі даних 1990-х рр. [11, 13, 19, 20, 21, 32, 38, 39, 40] (див. підкреслені номери моделей у табл. 1). Точки — вихідні дані

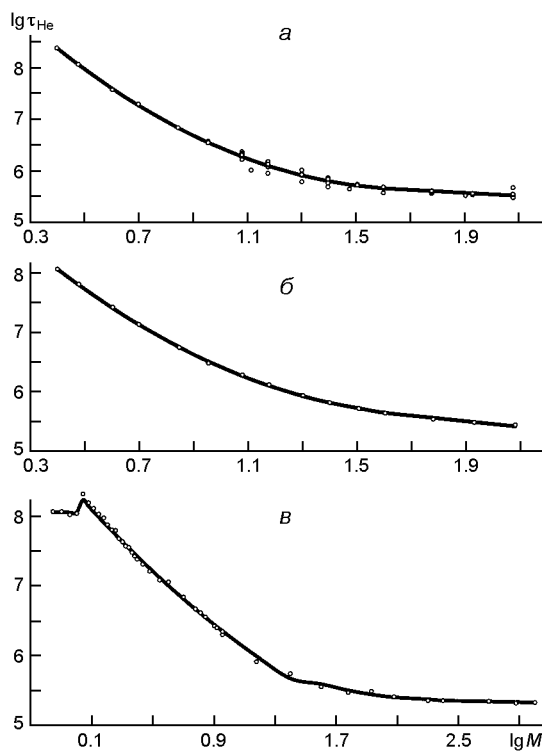


Рис. 2. Модельні залежності часу $\lg \tau_{\text{He}}$ ядерного горіння гелію від маси $\lg M$ зірок нульового віку населення I (а), II (б) і III (в), отримані без урахування осьового обертання на основі даних 2000-х рр. [14, 17, 18, 22, 25, 26, 28—30, 35, 37] (див. підкреслені номери моделей у табл. 2). Точки — вихідні дані

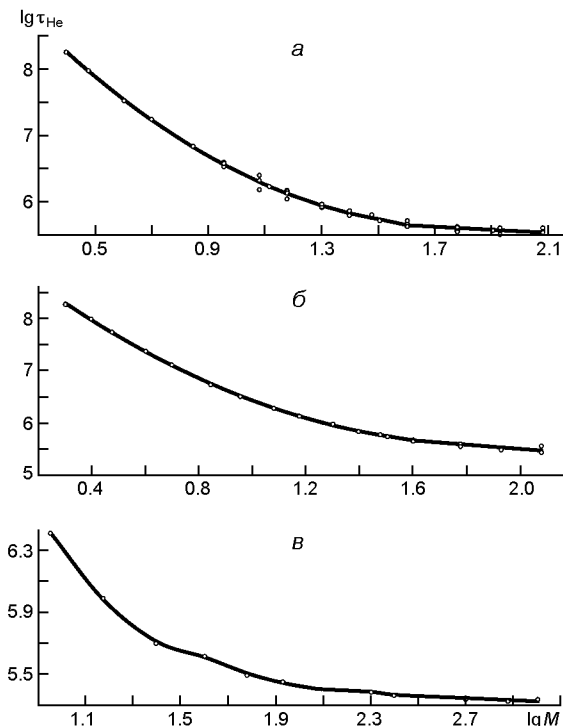


Рис. 3. Модельні залежності часу $\lg \tau_{\text{He}}$ ядерного горіння гелію від маси $\lg M$ зірок нульового віку населення I (а), II (б) і III (в), отримані з урахуванням осьового обертання на основі даних 2000-х рр. [14, 17, 18, 22, 25, 26, 28—30, 35, 37] (див. підкреслені номери моделей у табл. 3). Точки — вихідні дані

ласті $M = 10\dots50$ вони збігаються з точністю до 2 %. Така ж поведінка (і з такою ж точністю) залежності $\lg \tau_{\text{He}} — \lg M$ відповідає новим моделям, побудованим після 2000 р. (див. рис. 4б). Залежності $\lg \tau_{\text{He}} — \lg M$, отримані на інтервалі мас $M = 2.5\dots120$ для популяцій I і II, збігаються між собою у межах 2...3 %. Для цієї ж області отримано також аналогічну залежність для зірок популяції III. Вона лежить систематично нижче попередніх залежностей, значення $\lg \tau_{\text{He}}$ яких відрізняються від таких для зірок популяції I на 11 % (для $M = 2.5$) і 6 % (для $M = 5$). Для інтервалу мас $M = 10\dots120$ відмінності становлять 2 % і менше. Постійне значення $\lg \tau_{\text{He}}$ спостерігається на інтервалі мас $M = 0.7\dots1$, і воно всього на 0.4 % менше, ніж для зірок популяцій I і II. Далі після стрибка (при $M = 1$) на 3.4 % залежність $\lg \tau_{\text{He}} — \lg M$ можна описати функцією (8) на інтервалі мас $M = 1\dots25$, найкращі коефіцієнти якої представлено у табл. 2.

Закономірності горіння гелію в обертових зірках відображають табл. 3, рис. 3 і рис. 4в. Вони дозволяють врахувати вплив осьового обертання на час горіння гелію на стадії зірок-гігантів. Для цього може бути використана також формула (9), в якій під індексами i, k слід розуміти приналежність до найкращої апроксимаційної залежності (вказаної у табл. 2 і 3), розрахованих для зірок, які не мають або мають осьове обертання. В даному випадку доцільно обйтися без даних

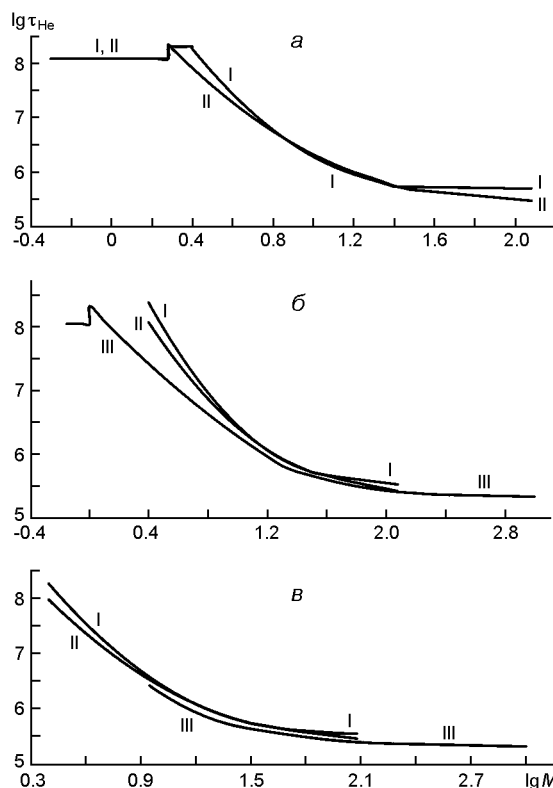


Рис. 4. Згладжені модельні залежності часу $\lg \tau_{\text{He}}$ ядерного горіння гелію від маси $\lg M$ зірок нульового віку населення I, II і III без урахування (а, б) і з урахуванням (в) їхнього осьового обертання (а — дані 1990-х рр., б і в — дані 2000-х рр.)

табл. 1, оскільки у табл. 2 і 3 наведено дані, що ґрунтуються на однорідних нових моделях зірок.

Як видно з рис. 4в, так само, як і для моделей зірок без урахування їхнього осьового обертання, для побудованих залежностей $\lg \tau_{\text{He}} — \lg M$ час горіння гелію систематично більший для популяції I, менший для популяції II і найменший — для популяції III (на 2 % порівняно з популяцією I на інтервалі мас $M = 10\dots 90$ і на 3 % — на інтервалі $M = 90\dots 120$). У межах 0.2 % залежності $\lg \tau_{\text{He}} — \lg M$ для зірок з осьовим обертанням населення популяції I і популяції II на інтервалі мас $M = 20\dots 50$ можна вважати одинаковими. Найбільший вплив осьового обертання, згідно з критерієм (9), проявляється у збільшенні часів горіння гелію для зірок населення I і II ($> 0.4\%$ на інтервалі мас $M < 5$). Натомість урахування осьового обертання призводить до зменшення значень $\lg \tau_{\text{He}}$: більш ніж на 0.4 % для зірок популяції I з масами $M = 100\dots 120$, на 0.4...0.9 % для зірок популяції II з масами $M = 20\dots 120$ і на 0.5 % — для зірок популяції III з масами порядку 10. У порівнянні з зірками населення популяції I тривалість горіння гелію більша у зірок популяції III — на 2 % ($M = 10\dots 90$) і трохи більша — на інтервалі мас $M = 90\dots 120$.

1. Де Ягер К. *Звезды наибольшей светимости*. М.: Мир, 1984. 493 с.
2. Еволюція зір. *Астрономічний енциклопедичний словник*. За ред. І. А. Климишина, А. О. Корсунь. Львів, 2003. С. 142.
3. Захожай В. А. Время жизни звезд на главной последовательности и максимальная масса звезд диска Галактики. *Кинематика и физика небес. тел.* 2013. 29, № 4. С. 61—72.
4. Захожай В. А., Забуга С. И. О времени горения водорода в недрах звезд. Новые аппроксимационные формулы. *Вісн. астрон. школи.* 2017. 13, № 2. С. 81—84.
5. Масевич А. Г., Тутуков А. В. *Эволюция звезд: теория и наблюдения*. М.: Наука, 1988. 280 с.
6. Сурдин В. Г. *Рождение звезд*. М.: УРСС, 2001. 262 с.
7. Сучков А. А. *Галактики знакомые и загадочные*. М.: Наука, 1988. 192 с.
8. Adams F. C., Laughlin Gr. A dying universe: the long-term fate and evolution of astrophysical objects. *Rev Mod. Phys.* 1997. 69, № 2. P. 337—372.
9. Argast D., Samland M., Gerhard O.E., Thielemann F.-K. Metal-poor halo stars as tracers of ISM mixing processes during halo formation. *Astron. and Astrophys.* 2000. 356. P. 873—887.
10. Basu S., Antia H. M. Helioseismology and solar abundances. *Phys. Rep.* 2008. 457. P. 217—283.
11. Bressan A., Fagotto F., Bertelli G., Chiosi C. Evolutionary sequences of stellar models with new radiative opacities. II. Z = 0.02. *Astron. and Astrophys. Suppl. Ser.* 1993. 100. P. 647—664.
12. Bressan A., Marigo P., Girardi L., Nanni A., Rubele S. *Red giant evolution and specific problems*. arXiv:1301.7687v1 [astro-ph.SR] 31 Jan 2013.
13. Charbonnel C., Meynet G., Maeder A., Schaller G., Schaerer D. Grids of stellar models. III. From 0.8 to 120 M_⊙ at Z = 0.004. *Astron. and Astrophys. Suppl. Ser.* 1993. 101. P. 415—419.
14. Chieffi A., Limongi M. Pre-supernova evolution of rotating solar metallicity stars in the mass range 13–120 M_⊙ and their explosive yields. *Astrophys. J.* 2013. 764. Art. id. 21. 36 p.
15. De Jong T., Maeder A. (eds). *Star formation*. IAU Symposium, No. 75. Univ. de Geneve, and Univ. de Lausanne Dordrecht. 1977. 307 p.
16. De Loore C. The evolution of massive stars. *Sp. Sci. Rev.* 1980. 26. P. 113—155.
17. Ekström S., Georgy C., Eggenberger P., Meynet G., et al. Grids of stellar models with rotation. I. Models from 0.8 to 120 M_⊙ at solar metallicity (Z = 0.014). *Astron. and Astrophys.* 2012. 537. Id. A146. 18 p.
18. Ekström S., Meynet G., Chiappini C., Hirschi R., Maeder A. Effects of rotation on the evolution of primordial stars. *Astron. Astrophys.* 2008. 489. P. 685—698.
19. Fagotto F., Bressan A., Bertelli G., Chiosi C. Evolutionary sequences of stellar models with new radiative opacities. III. Z = 0.0004 and Z = 0.05. *Astron. and Astrophys. Suppl. Ser.* 1994. 104. P. 365—376.
20. Fagotto F., Bressan A., Bertelli G., Chiosi C. Evolutionary sequences of stellar models with new radiative opacities. IV. Z = 0.004 and Z = 0.008. *Astron. and Astrophys. Suppl. Ser.* 1994. 105. P. 29—38.
21. Fagotto F., Bressan A., Bertelli G., Chiosi C. Evolutionary sequences of stellar models with very high metallicity. V. Z = 0.1. *Astron. and Astrophys. Suppl. Ser.* 1994. 105. P. 39—45.
22. Georgy C., Ekström S., Eggenberger P., Meynet G., et al. Grids of stellar models with rotation. III. Models from 0.8 to 120 M_⊙ at a metallicity Z = 0.002. *Astron. and Astrophys.* 2013. 558. Id. A103. 17 p.

23. Iben I. J. Post main sequence evolution of single stars. *Ann. Rev. Astron. and Astrophys.* 1974. 12. P. 215—256.
24. Iben I., Renzini A. Single star evolution I. Massive stars and early evolution of low and intermediate mass stars. *Phys. Rep.* 1984. 105. P. 329—406.
25. Marigo P., Chiosi C., Kudritzki R.-P. Zero-metallicity stars. II. Evolution of very massive objects with mass loss. *Astron. and Astrophys.* 2003. 399. P. 617—630.
26. Marigo P., Girardi L., Chiosi C., Wood P. R. Zero-metallicity stars. I. Evolution at constant mass. *Astron. and Astrophys.* 2001. 371. P. 152—173.
27. Mengel J. G., Sweigart A. V., Demarque P., Gross P. G. Stellar evolution from the zero-age main sequence. *Astrophys. J. Suppl. Ser.* 1979. 40. P. 733—791.
28. Meynet G. Maeder A. Stellar evolution with rotation. V. Changes in all the outputs of massive star models. *Astron. and Astrophys.* 2000. 361. P. 101—120.
29. Meynet G. Maeder A. Stellar evolution with rotation. X. Wolf-Rayet star populations at solar metallicity. *Astron. and Astrophys.* 2003. 404. P. 975—990.
30. Meynet G. Maeder A. Stellar evolution with rotation. XI. Wolf-Rayet star populations at different metallicities. *Astron. and Astrophys.* 2005. 429. P. 581—598.
31. Meynet G., Maeder A., Eggenberger P., Ekström S., et al. Impact of rotation on stellar models. *Astron. Nachr.* 2016. 337. P. 827—836.
32. Meynet G., Maeder A., Schaller G., Schaerer D., Charbonnel C. Grids of stellar models. V. From 0.8 to 120 M_{\odot} at $Z = 0.001, 0.004, 0.008, 0.020$ and 0.040 . *Astron. and Astrophys. Suppl. Ser.* 1994. 103. P. 97—105.
33. Packet W., Vanbeveren D., De Grève J. P., De Loore C., Sreenivasan S.R. The evolution of rotational velocity in O type stars. *Astron. and Astrophys.* 1980. 82. P. 73—78.
34. Paczynski B. Evolution of Stars with $M = 8 M_{\odot}$. IAU Symp., No. 66: Late stages of stellar evolution / Ed. R. J. Tayler & J. E. Hesser. 1974. P. 62—69.
35. Pignatari M., Herwig F., Hirschi R., Bennett M., et al. NuGrid stellar data set. I. Stellar yields from H to Bi for stars with metallicities $Z = 0.02$ and $Z = 0.01$. *Astron. and Astrophys. Suppl. Ser.* 2016. 225. Art. id. 24. 54 p.
36. Raiteri C. M., Villata M., Navarro J. F. Simulation of Galactic chemical evolution. I. O and Fe abundances in a simple collapse model. *Astron. and Astrophys.* 1996. 315. P. 105—115.
37. Ritter C., Herwig F., Jones S., Pignatari M., et al. NuGrid stellar data set - II. Stellar yields from H to Bi for stellar models with $MZAMS = 1—25 M_{\odot}$ and $Z = 0.0001—0.02$. *Mon. Notic. Roy. Astron. Soc.* 2018. 480. P. 538—571.
38. Schaerer D., Charbonnel C., Meynet G., Maeder A., Schaller G. Grids of stellar models. IV. From 0.8 to 120 M_{\odot} at $Z = 0.040$. *Astron. and Astrophys. Suppl. Ser.* 1993. 102, P. 339—342.
39. Schaerer D., Meynet G., Maeder A., Schaller G. Grids of stellar models. II. From 0.8 to 120 M_{\odot} at $Z = 0.008$. *Astrophys. J. Suppl. Ser.* 1993. 98. P. 523—527.
40. Schaller G., Schaerer D., Meynet G., Maeder A. Newgrids of models from 0.8 to 120 M_{\odot} at $Z = 0.020$ and $Z = 0.001$. *Astron. and Astrophys. Suppl. Ser.* 1992. 96. P. 269—331.
41. Sugimoto D., Nomoto K. Presupernova models and supernovae. *Space Sci. Rev.* 1980. 25. P. 155—227.
42. Sweigart A. V., Gross P. G. Horizontal-Branch Evolution with Semiconvection II. Theoretical Sequences. *Astrophys. J. Suppl. Ser.* 1976. 32. P. 367—398.

REFERENCES

1. De Jager K. (2003) *Star of the greatest luminosity*. M.: Mir, 1984. 493 p. [In Russian].
2. Evolution of stars. *Astronomichnyj encyklopedychnyyj slovnyk*. Eds I. A. Klimishin, A. O. Korsun, Lviv. 142. [In Ukrainian].
3. Zakhzhay V. A. (2013) Stellar lifetime on the main sequence stage and maximal stellar mass for the galaxy disc. *Kinematika i fizika nebes. tel.* 29(4). 61—72. [In Russian].
4. Zakhzhay V. A. Zabuga S. I. (2017) About the time of the burning of hydrogen in the interiors of stars. New approximation formulas. *Visnyk Astron. school.* 13(2). 81—84. [In Russian].
5. Masevich A. G., Tutukov A. V. (1988) *Evolution of stars: theory and observation*. M.: Nauka. 280. [In Russian].
6. Surdin V. G. (2001) *The birth of stars*. M.: URSS. 262. [In Russian].
7. Suchkov A. A. (1988) *Galaxy familiar and mysterious*. M.: Nauka. 192. [In Russian].
8. Adams F. C., Laughlin Gr. (1997) A dying universe: the long-term fate and evolution of astrophysical objects. *Rev Mod. Phys.* 69(2). 337—372.
9. Argast D., Samland M., Gerhard O. E., Thielemann F.-K. (2000) Metal-poor halo stars as tracers of ISM mixing processes during halo formation. *Astron. and Astrophys.* 356. 873—887.
10. Basu S., Antia H. M. (2008) Helioseismology and solar abundances. *Phys. Rep.* 457. 217—283.
11. Bressan A., Fagotto F., Bertelli G., Chiosi C. (1993) Evolutionary sequences of stellar models with new radiative opacities. II. $Z = 0.02$. *Astron. and Astrophys. Suppl. Ser.* 100. 647—664.
12. Bressan A., Marigo P., Girardi L., Nanni A., Rubelle S. (2013) *Red Giant evolution and specific problems*. arXiv:1301.7687v1 [astro-ph.SR] 31 Jan 2013.
13. Charbonnel C., Meynet G., Maeder A., Schaller G., Schaerer D. (1993) Grids of stellar models. III. From 0.8 to 120 M_{\odot} at $Z = 0.004$. *Astron. and Astrophys. Suppl. Ser.* 101. 415—419.
14. Chieffi A., Limongi M. (2013) Pre-supernova evolution of rotating solar metallicity stars in the mass range 13–120 M_{\odot} and their explosive yields. *Astrophys. J.* 764. Art. id. 21. 36.
15. De Jong T., Maeder A. (eds). (1977) *Star formation*. IAU Symposium, No. 75. Univ. de Geneve, and Univ. de Lausanne Dordrecht. 307.
16. De Loore C. (1980) The evolution of massive stars. *Space Sci. Rev.* 26. 113—155.
17. Ekström S., Georgy C., Eggenberger P., Meynet G., et al. (2012) Grids of stellar models with rotation. I. Models from 0.8 to 120 M_{\odot} at solar metallicity ($Z = 0.014$). *Astron. and Astrophys.* 537. Id. A146. 18.
18. Ekström S., Meynet G., Chiappini C., Hirschi R., Maeder A. (2008) Effects of rotation on the evolution of primordial stars. *Astron. and Astrophys.* 489. 685—698.
19. Fagotto F., Bressan A., Bertelli G., Chiosi C. (1994) Evolutionary sequences of stellar models with new radiative opacities. III. $Z = 0.0004$ and $Z = 0.05$. *Astron. and Astrophys. Suppl. Ser.* 104. 365—376.
20. Fagotto F., Bressan A., Bertelli G., Chiosi C. (1994) Evolutionary sequences of stellar models with new radiative opacities. IV. $Z = 0.004$ and $Z = 0.008$. *Astron. and Astrophys. Suppl. Ser.* 105. 29—38.
21. Fagotto F., Bressan A., Bertelli G., Chiosi C. (1994) Evolutionary sequences of stellar models with very high metallicity. V. $Z = 0.1$. *Astron. and Astrophys. Suppl. Ser.* 105. 39—45.

22. Georgy C., Ekström S., Eggenberger P., Meynet G., et al. (2013) Grids of stellar models with rotation. III. Models from 0.8 to 120 M_⊙ at a metallicity Z = 0.002. *Astron. and Astrophys.* 558. Id.A103. 17.
23. Iben I. J. (1974) Post main sequence evolution of single stars. *Ann. Rev. Astron. and Astrophys.* 12. 215—256.
24. Iben I., Renzini A. (1984) Single star evolution I. Massive stars and early evolution of low and intermediate mass stars. *Phys. Rep.* 105. 329—406.
25. Marigo P., Chiosi C., Kudritzki R.-P. (2003) Zero-metallicity stars. II. Evolution of very massive objects with mass loss. *Astron. and Astrophys.* 399. 617—630.
26. Marigo P., Girardi L., Chiosi C., Wood P. R. (2001) Zero-metallicity stars. I. Evolution at constant mass. *Astron. and Astrophys.* 371. 152—173.
27. Mengel J. G., Sweigart A. V., Demarque P., Gross P. G. (1979) Stellar evolution from the zero-age main sequence. *Astrophys. J. Suppl. Ser.* 40. 733—791.
28. Meynet G. Maeder A. (2000) Stellar evolution with rotation. V. Changes in all the outputs of massive star models. *Astron. and Astrophys.* 361. 101—120.
29. Meynet G. Maeder A. (2003) Stellar evolution with rotation. X. Wolf-Rayet star populations at solar metallicity. *Astron. and Astrophys.* 404. 975—990.
30. Meynet G. Maeder A. (2005) Stellar evolution with rotation. XI. Wolf-Rayet star populations at different metallicities. *Astron. and Astrophys.* 429. 581—598.
31. Meynet G., Maeder A., Eggenberger P., Ekström S., et al. (2016) Impact of rotation on stellar models. *Astron. Nachr.* 337. 827—836.
32. Meynet G., Maeder A., Schaller G., Schaerer D., Charbonnel C. (1994) Grids of stellar models. V. From 0.8 to 120 M_⊙ at Z = 0.001, 0.004, 0.008, 0.020 and 0.040. *Astron. and Astrophys. Suppl. Ser.* 103. 97—105.
33. Packet W., Vanbeveren D., De Grève J. P., De Loore C., Sreenivasan S. R. (1980) The evolution of rotational velocity in O type stars. *Astron. and Astrophys.* 82. 73—78.
34. Paczynski B. (1974) Evolution of Stars with M = 8 M_⊙. IAU Symp., No. 66: Late stages of stellar evolution / Ed. R. J. Tayler & J. E. Hesser. 62—69.
35. Pignatari M., Herwig F., Hirschi R., Bennett M., et al. (2016) NuGrid stellar data set. I. Stellar yields from H to Bi for stars with metallicities Z = 0.02 and Z = 0.01. *Astron. and Astrophys. Suppl. Ser.* 225. Art. id. 24. 54.
36. Raiteri C. M., Villata M., Navarro J. F. (1996) Simulation of Galactic chemical evolution. I. O and Fe abundances in a simple collapse model. *Astron. and Astrophys.* 315. 105—115.
37. Ritter C., Herwig F., Jones S., Pignatari M., et al. (2018) NuGrid stellar data set - II. Stellar yields from H to Bi for stellar models with MZAMS = 1—25 M_⊙ and Z = 0.0001—0.02. *Mon. Notic. Roy. Astron. Soc.* 480. 538—571.
38. Schaerer D., Charbonnel C., Meynet G., Maeder A., Schaller G. (1993) Grids of stellar models. IV. From 0.8 to 120 M_⊙ at Z = 0.040. *Astron. and Astrophys. Suppl. Ser.* 102. 339—342.
39. Schaerer D., Meynet G., Maeder A., Schaller G. (1993) Grids of stellar models. II. From 0.8 to 120 M_⊙ at Z = 0.008. *Astrophys. J. Suppl. Ser.* 98. 523—527.
40. Schaller G., Schaerer D., Meynet G., Maeder A. (1992) Newgrids of models from 0.8 to 120 M_⊙ at Z = 0.020 and Z = 0.001. *Astron. and Astrophys. Suppl. Ser.* 96. 269—331.
41. Sugimoto D., Nomoto K. (1980) Presupernova models and supernovae. *Space Sci. Rev.* 25. 155—227.
42. Sweigart A. V., Gross P. G. (1976) Horizontal-Branch Evolution with Semiconvection II. Theoretical Sequences. *Astrophys. J. Suppl. Ser.* 32. 367—398.

[B. A. Захожай], C. I. Забуга

Харьковский национальный университет им. В. Н. Каразина, Харьков, Украина

ПРОДОЛЖИТЕЛЬНОСТЬ ГОРЕНИЯ ГЕЛИЯ У ЗВЕЗД НАСЕЛЕНИЙ I...III

Получены обобщенные аппроксимационные формулы, описывающие зависимость «время горения гелия — масса звезд нулевого возраста» для интервалов масс и элементного состава звезд, которые относят к населениям I...III. Аппроксимация проводилась как с учетом осевого вращения звезд, так и без его учета. Исследованы закономерности, проявляющиеся в полученных зависимостях от содержания тяжелых химических элементов Z (в пределах от 0 до 0,1), включающих характерные значения для звездных населений I...III, и наличия/отсутствия осевого вращения звезд.

Ключевые слова: горение гелия, осевое вращение звезд, аппроксимационные формулы, звезды населений I...III, масса звезд нулевого возраста.

[V. A. Zakhozhay], S. I. Zabuga

V. N. Karazin Kharkiv National University, Kharkiv, Ukraine

THE HELIUM BURNING DURATION FOR POPULATION I-III STARS

Generalized approximation formulas are obtained. The formulas describe the dependence «helium burning time — mass of stars at zero age» for the stars, that belong to the population I...III. The approximation was derived for non-rotating stars and stars with axial rotation. We have discovered the patterns in dependencies based on the obtained approximation equations from the content of heavy chemical elements Z (ranging from 0 to 0.1), including characteristic values for stellar populations I...III, and the presence/absence of axial rotation of stars.

Keywords: Helium burning, axial rotation of stars, approximation formulas, stars of populations I ... III, mass of stars of zero age.

Стаття надійшла до редакції 30.08.2019

Після доопрацювання 30.08.2019

Прийнята до друку 13.04.2020